

Supplement of Clim. Past Discuss., 11, 671–712, 2015  
<http://www.clim-past-discuss.net/11/671/2015/>  
doi:10.5194/cpd-11-671-2015-supplement  
© Author(s) 2015. CC Attribution 3.0 License.



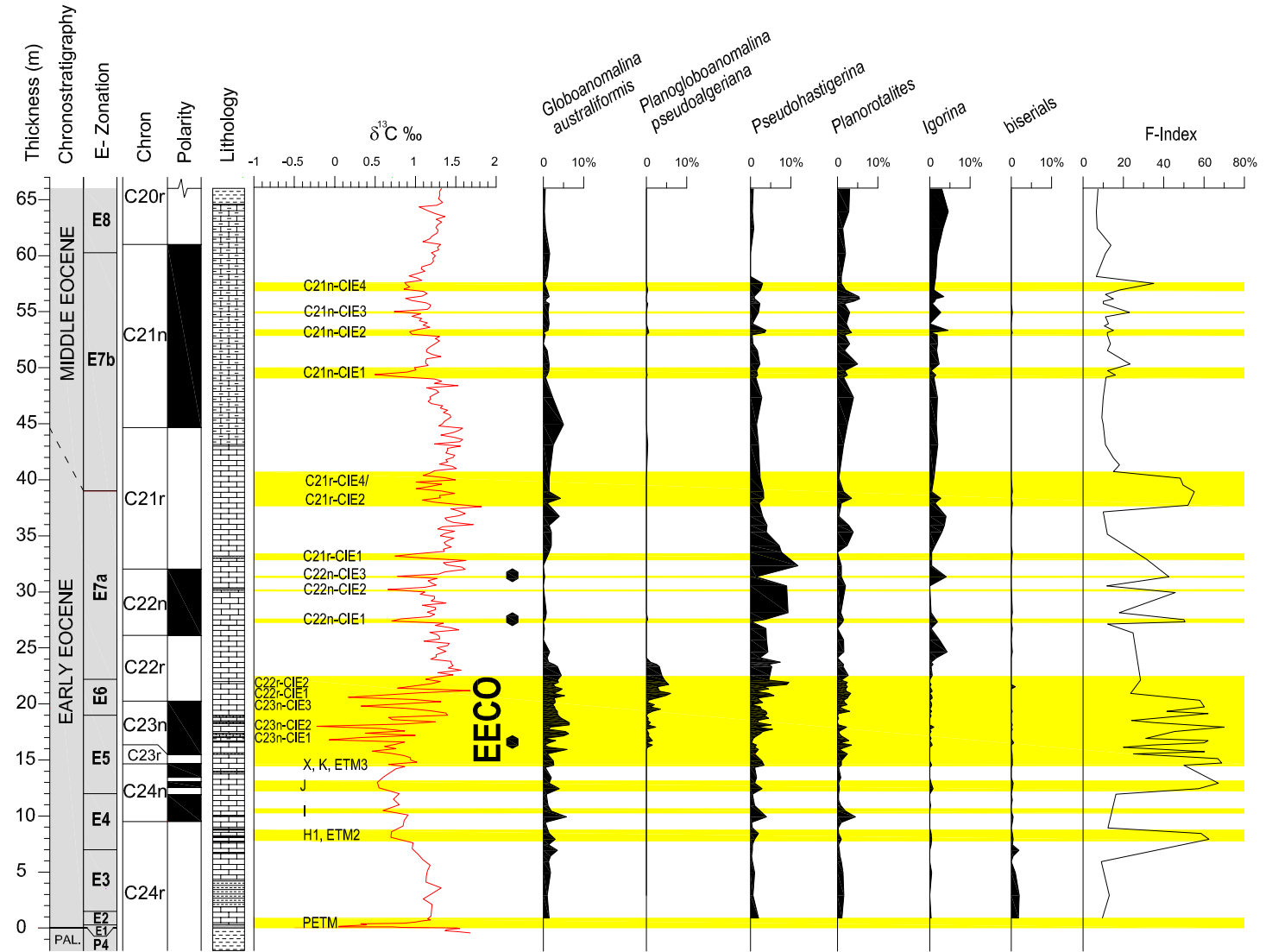
*Supplement of*

**Massive and permanent decline of symbiont bearing morozovellids and  $\delta^{13}\text{C}$  perturbations across the Early Eocene Climatic Optimum at the Possagno section (Southern Alps of northeastern Italy)**

**V. Luciani et al.**

*Correspondence to:* V. Luciani (valeria.luciani@unife.it)

Fig. S1



Possagno section

Thickness (meters)	d13Cpdb ‰	d18Opdb ‰
66	1,324503865	-1,554131513
65,7	1,301202621	-1,363687878
65,4	1,306330409	-1,285765533
65,1	1,289525476	-1,334902053
65,1	1,288019147	-1,361227875
64,75	1,337699738	-1,365512853
64,5	1,271493282	-1,449946289
64,35	1,048026588	-1,843804126
64	1,157592263	-1,664853101
63,75	1,242287722	-1,654166107
63,5	1,369396415	-1,354916697
63,25	1,258468714	-1,405387406
63	1,328439322	-1,377815013
62,75	1,277403321	-1,585307364
62,5	1,255599346	-1,755604391
62,25	1,28272387	-1,411073928
62	1,268756475	-1,226212864
61,75	1,209940758	-1,47335947
61,5	1,178018179	-1,715059881
61,25	1,095738735	-1,870218997
61	1,313557115	-1,399695163
60,75	1,277940478	-1,35860539
60,5	1,291423645	-1,430644636
60,25	1,200942841	-1,498587494
60	1,250952568	-1,417450314
59,75	1,218475547	-1,393167024
59,5	1,225717988	-1,324035769
59,25	1,194266763	-1,51954699
59	1,080495861	-1,482955818
58,8	1,075773802	-1,522460465
58,6	1,11857554	-1,22201932
58,4	1,028116908	-1,323055034
58,2	0,92447057	-1,608414416
58	1,028708603	-1,348841195
57,8	1,07809129	-1,064679508
57,6	0,87	-1,86
57,4	0,892621305	-1,393869643
57,2	0,932505455	-1,848349814
57	0,858608928	-1,928927784
56,8	1,10415658	-1,260469084
56,6	1,146353927	-1,451587324
56,4	1,086170402	-1,271435385
56,2	0,878456082	-1,761198406
56	0,958974626	-1,566232448
55,8	1,131602612	-1,334447985
55,6	1,19	-1,25
55,4	1,18	-1,29
55,2	1,15	-1,45
55	0,74	-1,99

54,8	1,07	-1,5
54,6	0,96	-1,58
54,4	1,08	-1,25
54,2	1,05	-1,29
54	1,15	-1,11
53,8	1,1	-1,29
53,6	1,18	-1,14
53,4	1,03	-1,36
53,2	0,93	-1,8
53	0,96	-2,02
52,8	1,3	-1,26
52,6	1,25	-1,36
52,4	1,3	-1,48
52,2	1,26	-1,37
51,8	1,17	-1,7
51,6	1,14	-1,69
51,4	1,14	-1,69
51,2	1,21	-1,71
51	1,32	-1,25
50,8	1,14	-1,63
50,6	1,13	-1,61
50,4	1,13	-1,44
50,2	1,16	-1,28
50	0,99	-1,59
49,8	1,01	-1,48
49,6	0,9	-1,57
49,4	0,5	-2,55
49,2	0,82	-2,21
49	1,24	-1,43
48,8	1,33	-1,13
48,6	1,24	-1,82
48,4	1,53	-1,03
48,2	1,14	-1,78
48	1,26	-1,7
47,8	1,29	-1,56
47,6	1,23	-1,73
47,4	1,18	-1,65
47,2	1,19	-1,67
47	1,16	-1,58
46,8	1,2	-1,89
46,6	1,34	-1,42
46,4	1,31	-1,43
46,2	1,4	-1,64
46	1,35	-1,59
45,8	1,43	-1,55
45,6	1,44	-1,46
45,2	1,36	-1,71
45	1,34	-1,66
44,8	1,29	-2,02
44,6	1,59	-1,27
44,4	1,54	-1,41
44,2	1,47	-1,61

44	1,32	-1,84
43,8	1,48	-1,73
43,6	1,59	-1,27
43,4	1,55	-1,41
43,2	1,24	-2,19
43	1,56	-1,42
42,8	1,4	-1,67
42,6	1,4	-1,66
42,4	1,38	-1,65
42,2	1,49	-1,43
42	1,47	-1,44
41,8	1,38	-1,69
41,6	1,4	-1,52
41,4	1,3	-1,98
41,2	1,46	-1,65
41	1,51	-1,63
40,8	1,24	-1,89
40,6	1,18	-1,78
40,4	1,1	-1,71
40,2	1,36	-1,91
40	1,5	-1,55
39,8	1,01	-1,98
39,6	1,33	-1,94
39,4	1,18	-2,19
39,2	1,01	-2,09
39	1,32	-1,75
38,8	1,49	-1,66
38,6	1,3	-1,71
38,4	1,31	-1,46
38,2	1,09	-1,83
38	1,24	-2,66
37,8	1,52	-1,65
37,6	1,82	-0,92
37,4	1,44	-1,86
37,2	1,54	-1,72
37	1,62	-1,43
36,8	1,54	-1,6
36,6	1,37	-1,74
36,4	1,39	-2,15
36,2	1,47	-1,69
36	1,72	-1,19
35,8	1,34	-1,72
35,6	1,28	-1,79
35,4	1,49	-1,77
35,2	1,36	-1,64
35	1,31	-1,87
34,8	1,48	-1,16
34,6	1,41	-1,63
34,4	1,36	-1,84
34,2	1,38	-1,73
34	1,45	-1,49
33,8	1,35	-1,63

33,6	1,36	-1,2
33,4	1	-2,02
33,2	0,75	-2,58
33	1,15	-2,29
32,8	1,63	-1,12
32,6	1,35	-1,84
32,4	1,39	-1,79
32,2	1,58	-1,7
32	1,62	-1,47
31,8	1,37	-2,18
31,6	1,29	-1,65
31,4	0,78	-3,1
31,2	1,27	-1,87
31	1,16	-1,94
30,8	1,2	-1,81
30,6	1,26	-1,66
30,4	1,12	-1,67
30,2	0,66	-2,4
30	1,12	-1,81
29,8	1,06	-2,23
29,6	1,24	-1,74
29,4	1,24	-1,79
29,2	1,2	-2,16
29	1,38	-1,92
28,8	1,09	-2,23
28,6	1,25	-1,62
28,4	1,25	-1,8
28,2	1,15	-1,74
28	1,24	-1,7
27,8	1,18	-1,62
27,6	0,83	-2,15
27,4	0,71	-2,45
27,2	1,35	-1,41
27	1,25	-1,66
26,8	1,43	-1,25
26,6	1,54	-1,11
26,4	1,18	-1,74
26,2	1,27	-1,38
26	1,3	-1,74
25,8	1,3	-1,92
25,6	1,11	-1,91
25,4	1,42	-1,5
25,2	1,4	-1,51
25	1,27	-1,81
24,7	1,38	-1,13
24,4	1,26	-1,94
24,2	1,26	-1,85
24	1,19	-1,91
23,8	1,44	-1,75
23,6	1,45	-1,69
23,4	1,47	-1,83
23,2	1,41	-1,76

23	1,57	-1,19
22,8	1,28	-1,72
22,6	1,47	-1,64
22,4	1,25	-1,99
22,2	1,13	-2,11
22	1,31	-1,96
21,8	1,2	-2,07
21,4	0,78	-2,72
21,2	1,68	-0,78
21	1,05	-1,87
20,8	0,61	-1,79
20,6	0,17	-2,27
20,4	0,97	-1,69
20,2	1,32	-1,91
20	0,83	-1,64
19,8	0,33	-2,31
19,6	0,88	-1,89
19,4	1,19	-1,6
19,2	1,38	-0,81
19	1,4	-1,49
18,8	0,67	-1,73
18,6	0,72	-2,59
18,4	1,25	-1,59
18,2	0,85	-1,9
18	-0,22	-3,64
17,8	0,57	-2,43
17,6	0,87	-1,63
17,4	0,38	-2,11
17,2	1	-1,66
17	0,31	-2,16
16,8	-0,07	-3,25
16,6	0,87	-1,79
16,4	0,76	-2,08
16,2	0,62	-2,16
16	0,76	-1,7
15,8	0,47	-1,97
15,6	0,7	-1,41
15,4	0,86	-1,79
15,2	0,94	-1,58
15	0,94	-1,51
14,8	1,02	-1,42
14,6	0,67	-1,74
14,4	0,87	-1,23
14,2	0,76	-1,35
13,5	0,61	-1,79
13	0,53	-1,99
12,55	0,55	-1,95
12	0,8	-1,66
11,5	0,73	-1,87
10	0,91	-1,39
9,5	0,860407617	-1,745868284
9	0,847698043	-1,6249864

8,5	0,704323168	-1,620825392
8	0,697123094	-1,606233422
7,5	0,971220119	-1,70465462
7	0,960200544	-1,804953966
6,5	1,03282727	-1,798588563
6	1,093247595	-1,655217488
5,5	1,182569921	-1,685192373
5	1,147446246	-1,536443685
4,5	1,136631571	-1,751460814
4	1,131549897	-2,060952576
3,5	1,321208222	-1,972329429
3	1,210211548	-2,357527232
2,5	1,095834873	-2,265978774
2	1,205609198	-2,180916572
0,975	1,193025524	-2,39513048
0,825	1,169705849	-2,128674243
0,725	1,150951175	-2,193656665
0,625	1,187252381	-2,071204006
0,525	1,072769571	-1,900119279
0,425	0,996418462	-2,185873828
0,325	0,855189052	-1,957644402
0,275	0,325183243	-2,571328228
0,225	0,363733114	-2,577693458
0,175	0,395223833	-2,442193443
0,125	0,261679624	-2,517606276
0,075	0,056425765	-2,600329725
0,025	0,046204045	-2,697877737
0,01	0,715394386	-2,627456411
-0,025	0,825253976	-2,496448436
-0,075	1,512990667	-2,286158599
-0,125	1,549820857	-2,208348633
-0,175	1,458455048	-2,554977403
-0,225	1,393471238	-2,195702997
-0,325	1,366631429	-2,565834405
-0,425	1,545594619	-2,359719334
-0,525	1,67926181	-2,339723417
-0,725	1,762957082	-2,045519714
-0,825	1,772335157	-1,765052919